

## 空燃比の変化によるボイラ性能

関根 郁平\*

佐々木 啓介\*\*

The Influence of Air-Fuel Ratio on Performance of Boiler

Ikuhei SEKINE  
Keisuke SASAKI

### 要旨

立型水管ボイラを用いて、空燃比、噴油量、連続燃焼及間欠燃焼に於ける特性を調べた。又連続燃焼時の炉内温度分布をサクションパイロメーターにより測定した。

### Synopsis

We studied the influence of air-fuel ratio and fuel injection quantity on the performance of vertical water-tube type boiler at intermittent burning and continuous burning.

We measured the distribution of temperature in the boiler at continuous burning by using the suction pyrometer.

### 1 まえがき

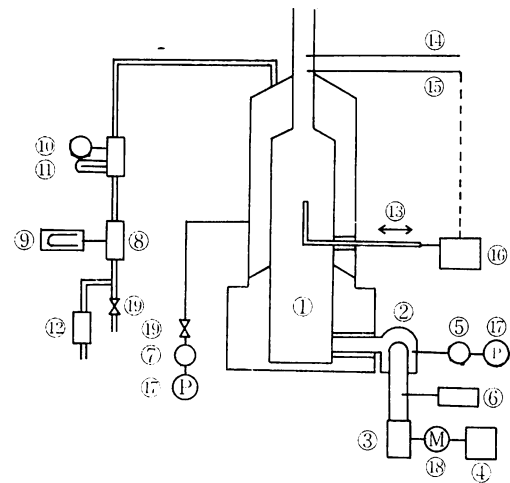
ボイラの発展と共に大型の発電用ボイラ等は伝熱の方式が対流の熱伝達方式から、放射熱伝達方式へと大きく変化している。しかしながら一般業務用に用いられている旧式の小型ボイラは依然、対流熱伝達型に依存し、熱的検討がほとんどなされていない。加えてon-off制御の立型水管式ボイラについては、伝熱面形状が複雑である為、内部に於ける温度分布、又は間欠燃焼のボイラ性能に及ぼす影響についても、あまり知られていない。今回の実験では水管部の隙間8mmに挿入出来る、三重管方式のサクションパイロメーターを作成し、バーナーの吹き出し方向と一致する方向での温度分布を得たので合わせてここに報告する。

### 2 実験装置及方法

ボイラはGK-S1型立型水管式ボイラであり、バーナーはガントタイプオイルバーナーであり、on-off制御により作動する。実験装置の概略は第1図に示してあり、この実験の為にバーナーの一次空気側にシロッコファンを取り付け、空燃比を変化させている。空気量が一定である事の確認の為にダクト内の空気流速を電子風速計を用いて測定している。又外部からの空気漏

れをなくする為に防爆扉はテープにて密閉してある。温度測定の為に作成したサクションパイロメーターは第2図に示してある。

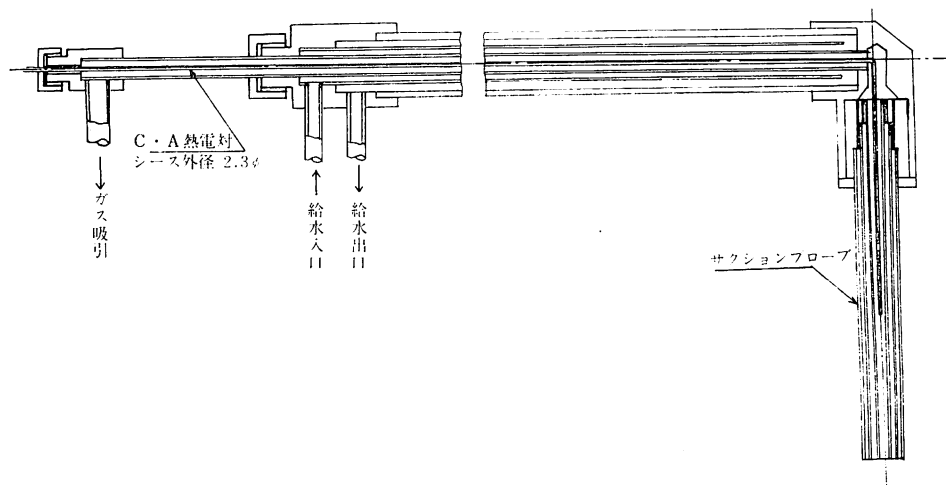
実験は連続燃焼と間欠燃焼を行ない、前者は5.6G(ガロン)のノズルチップを用い、空燃比を概略0.95, 0.9, 0.8, 0.7, 0.6と変化させる事とし、バーナーのon-off制御を外し、放出蒸気量を加減する事により蒸気圧力を6.0kg/cm<sup>2</sup>G一定とし、給水量は給水バルブの開度を調節する事により一定とした。又性能試験は1時間程度の準備時間をおく、十分に熱的平衡が確



第1図 装置図

\* 助手 機械工学科

\*\* 助教授 機械工学科



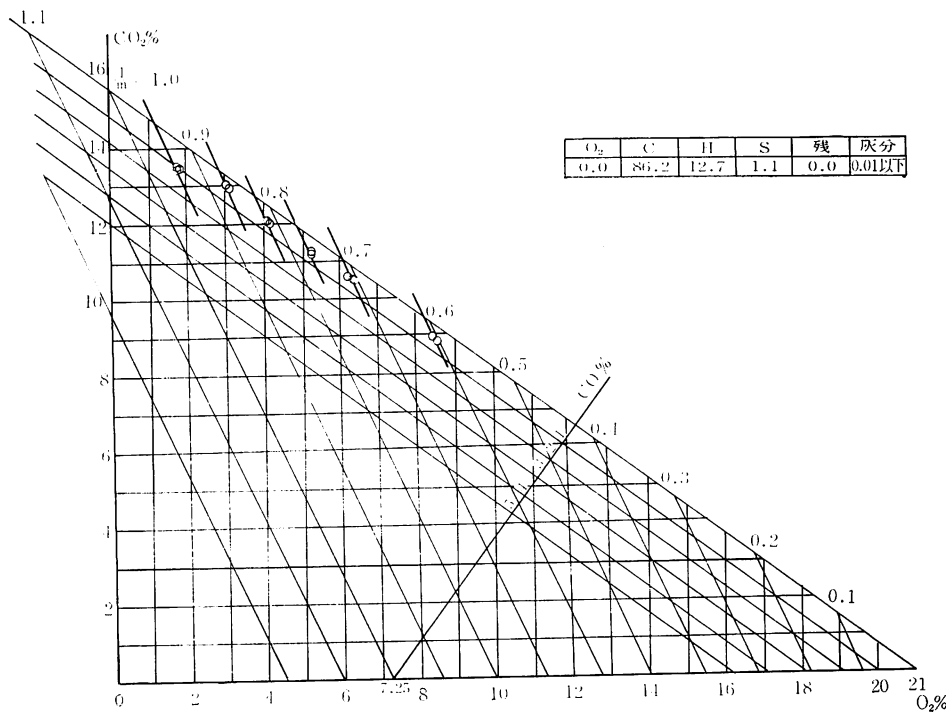
第2図 サクションパイロメーター

認された後行なわれた。炉内部の温度測定については、50 mm の間隔で横方向に13点測定し、1点ごとに熱的平衡を考慮しながら測定している。縦方向はサクションパイロメーターのプローブを取り替えながら10 cm, 15cm ごとに12個所測定している。記録は電位差平衡自動記録計にて行なった。

間欠燃焼時のボイラ性能試験はバーナーの on-off 制御を  $5.6 \leftrightarrow 6.4 \text{ kg}/\text{cm}^2\text{G}$  で作動させ、5.6G のノズルチップの場合負荷を水銀マノメーターの読みで 250

$\text{mmHg}$ , 200  $\text{mmHg}$ , 150  $\text{mmHg}$ , 100  $\text{mmHg}$  とし空燃比を  $\frac{1}{m} = 0.92, 0.87, 0.76, 0.66, 0.61$  とした。又ノズルチップ 5.0G, 4.0G についても行ない、5.0 G, 4.0G は 5.6G に比例した負荷をとった。

空燃比は一次側の風量を確認しながら、煙道ガスを採取し、オルザットガス分析器にて分析し定めた。又試験毎に分析し変化のない事を確めている。第3図に燃料元素分析値より作成した Ostwald 線図及び分析結果の一部を載せてある。



第3図 A重油の Ostwald 線図

実験計算に用いた主な式は次の通りである。

$$\eta_b = \frac{G(i_1 - i_0)}{G_f H_b + V_a C_p a t_a + G_f C_f f_{fuel}}$$

$$G = 1.56481 / \gamma_1 \times P_0 \times 13.6$$

$$H_b = 8100C + 2853((h - \frac{1}{8}0) + 2500s + 600w)$$

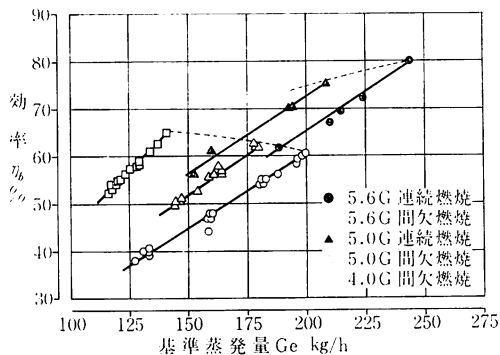
$$V_a = G_f \times 10.551 \times \frac{1}{m}$$

$$G_e = \frac{G_f \cdot H_b}{538.8}$$

$G_e$ : 基準蒸発量 kg/h  
エンタルピ  $i_1$  は熱量計にて測定し、 $i-s$  線図より求めた。又間欠燃焼に於ける  $P_0$ 、水銀マノメーター読みは、時間積分平均を用いた。

### 3 実験結果及考察

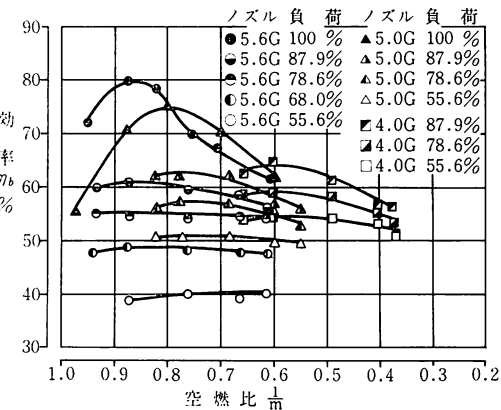
負荷による影響をみるために第4図に、横軸に基準蒸発量  $G_e$ 、縦軸に効率  $\eta_b$  をとって示してある。この図から間欠燃焼に於ける効率は 5.6 G、250 mmHg



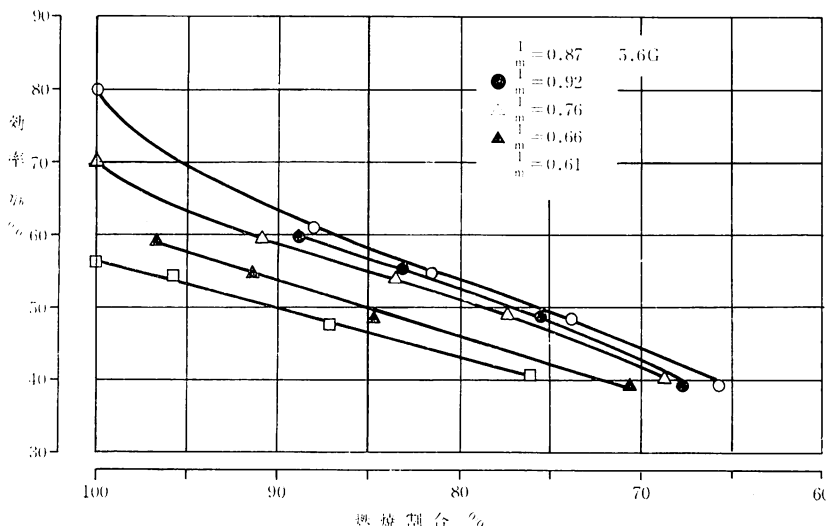
第4図 基準蒸発量と効率

で  $\eta_b = 60.5\%$  であり、蒸発量は 170.0 kg/h、相当蒸発量は 200.0 kg/h である。しかし同一のノズルチップで連続燃焼の場合、空燃比  $\frac{1}{m} = 0.87$  で  $\eta_b = 80.0$ 、蒸発量は 200 kg/h、相当蒸発量は 243 kg/h に達し、このボイラの定格 6.0 kg/cm<sup>2</sup>G、200 kg/h に一致する。点線は最大効率曲線を示したもので、連続燃焼と間欠燃焼では反対の傾きを示し、連続燃焼ではノズルチップの増大と共に増加し、間欠燃焼では減少を示している。又同一ノズルチップ、同一燃焼方式では効率が同一直線上に整理される事が示される。

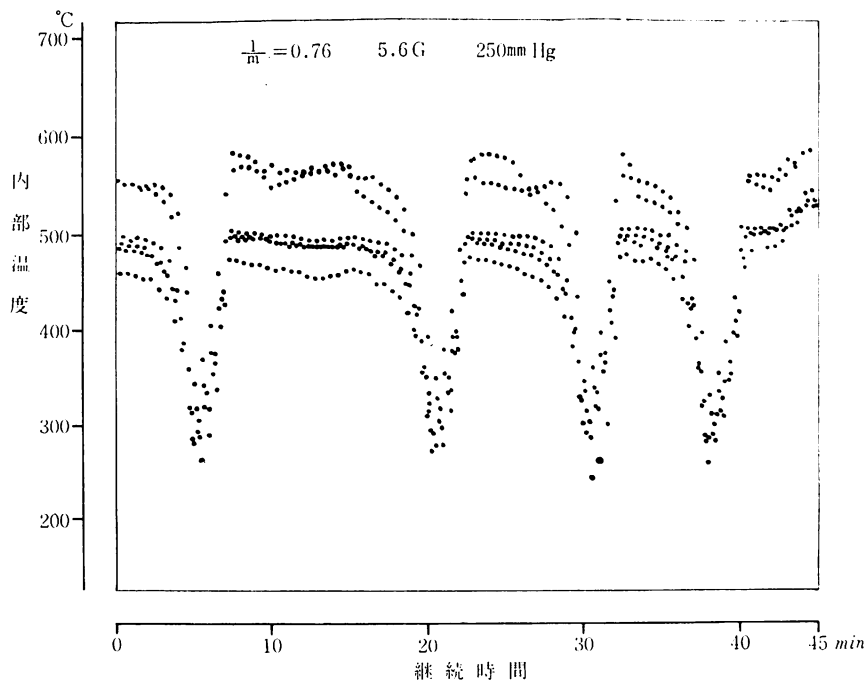
第5図は横軸に空燃比  $\frac{1}{m}$  をとる事により図示したものであり、100% 負荷は連続燃焼、以外は間欠燃焼を示している。この図から間欠燃焼に於ては負荷の減少と共に効率の低下がみられ、この傾向はいずれのノズルチップでも同様な事を示している。空燃比に関してみると、と間欠燃焼時で 5.6 G の最大効率点



第5図 空燃比と効率



第6図 間欠燃焼と効率

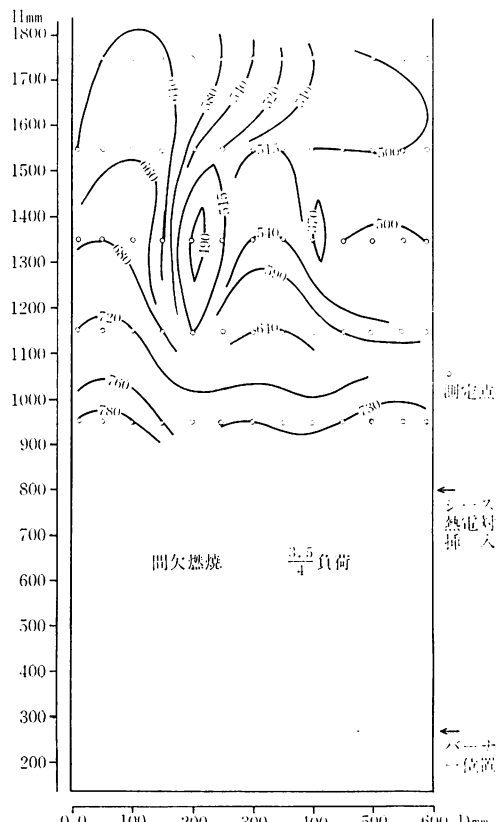


第7図 間欠燃焼時の温度変化

は  $\frac{1}{m} = 0.87$  で  $\eta_b = 60.5$ ,  $5.0\text{G}$  では  $\frac{1}{m} = 0.775$  で  $\eta_b = 62.0$ ,  $4.0\text{G}$  では  $\frac{1}{m} = 0.60$  で  $\eta_b = 64.5$  とノズルチップの減少と共に最大効率点が空燃比  $\frac{1}{m}$  の減少位置に移動しつつ効率の増加が認められる。連続燃焼に於ては  $5.6\text{G}$  と  $5.0\text{G}$  が  $\frac{1}{m} = 0.79$  で逆転が認められ、性能曲線の形に異りがある。これは  $5.0\text{G}$ ,  $\frac{1}{m} = 0.79$  以上に於ける固体の未燃炭化物の形成に関りのあるものと考えられる。

第6図は間欠燃焼の効率に対する影響を調べる為に図示したもので、 $5.6\text{G}$  断続割合として全運転時間に対するバーナー作動時間を%で示したものである。ここにみられる様に各空燃比に於て、効率が燃焼割合の関数としてほぼ一直線上に表わされ、間欠燃焼の割合が効率に大きく影響する事が示された。

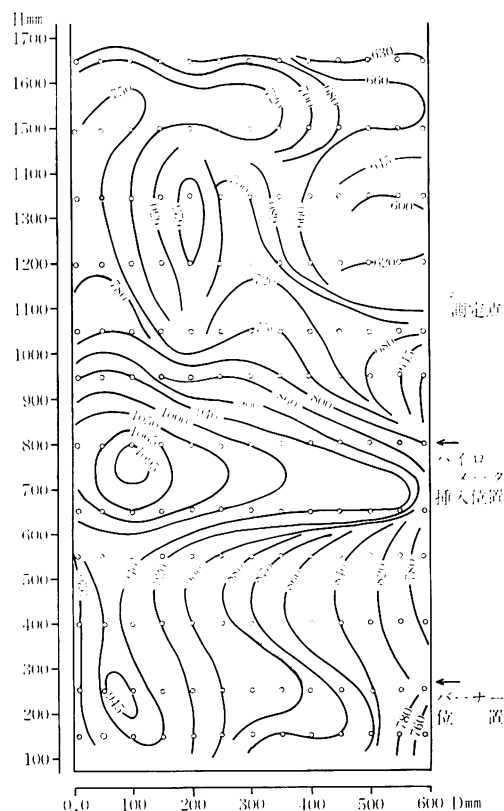
以上の結果をみながら、第7図に  $5\text{mm}\phi$  のシース熱電対を5本束ねて測定した間欠燃焼の消火と着火のデーターを載せてある。伝熱面内部の温度が消火と一緒に急激な温度降下を示している。これはダクト内の空気流れの観察から通風力によって引き起こされる冷えた空気の流入による冷却効果と見なす事が出来、第9図に間欠燃焼時のシース熱電対による温度分布の測定値を示してあるが、輻射による温度測定誤差を考慮に入れても連続燃焼に比して  $200^{\circ}\text{C} \sim 100^{\circ}\text{C}$  低温に

第9図 ボイラ内部温度分布  $5.6\text{G} \frac{1}{m} = 0.760$

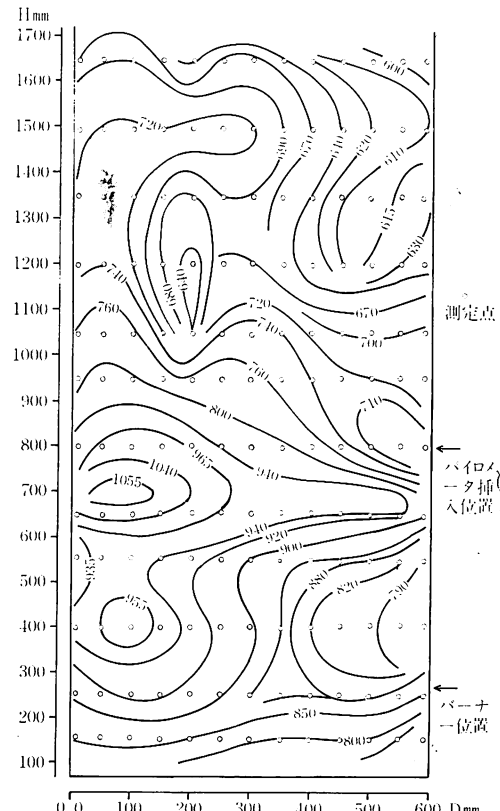
保たれている。この事は同時に第5図に示した間欠燃焼と連続燃焼の不連続の原因と考えられる。

第8, 10, 11図は5.6Gで横軸にボイラ内部直径Dmm, 縦軸に高さ位置Hmmを示し, 温度を等温線°Cで示したものである。第8図は $\frac{1}{m}=0.760$ , 第10図は $\frac{1}{m}=0.705$ , 第11図は $\frac{1}{m}=0.695$ の状態である。この図に於てD=600, H=800の位置がサクションパイロメーター挿入口であり, バーナーはD=600, H=270の位置にある。第8図に於て火炎はH=550→1000の範囲に形成しH=600→700の間に急激な燃焼が観察される, 火炎核はH=750, D=100の位置に発生し中心温度は $t_h=1095^{\circ}\text{C}$ である。又もう1つの核はD=250の位置に発生し $t_g=945^{\circ}\text{C}$ である。この様に火炎核が二つに分断するのはバーナーより吹き出す空気の流速に関連するものと考えられ, 一般的に燃焼時間が重油で0.5~0.25secを考えると未然の状態のまま築炉壁面に衝突し, 二方向に分断する事によって生ずる事が自然である。D=0~100, H=950→1500の範囲で等温線が上方に伸びているのは第12図にH=800の位置で $\frac{1}{m}=0.609\sim0.95$ の範

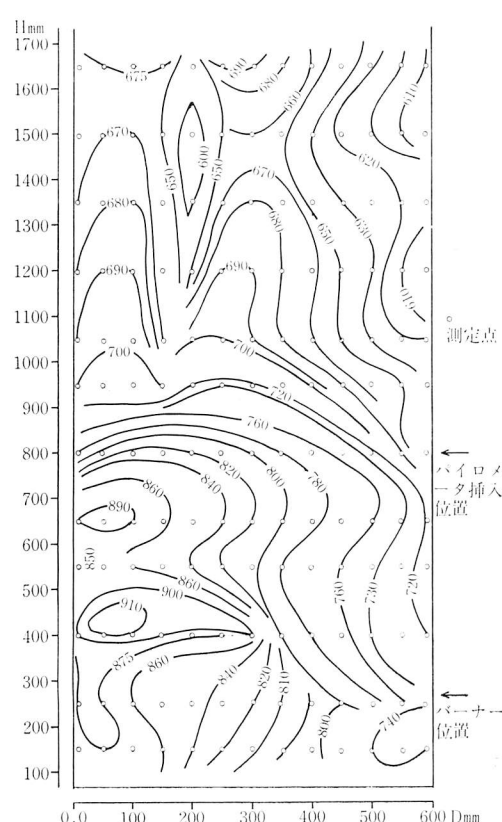
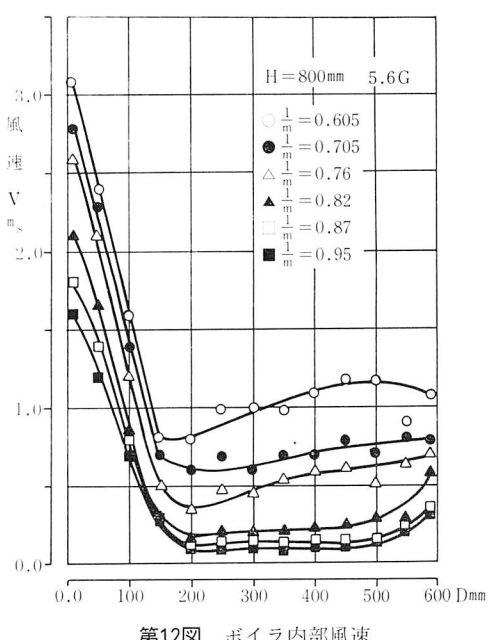
圍に相当する空気量を炉内に送り込んだ時の高さ方向の風速を図示してあり, この図から予測される熱ガスのまわり込みを示している。H=1050→1500, D=200の冷えた空気塊は水管部による冷却であり, 中心部分D=300, H=1000→1200にかけて観られる温度の凸みは第1水管部によって形成される空間をガスが流れている為のもので温度境界層の発生が考えられる。H=800→900, D=550→600にかけての冷却はパイロメーター挿入口からの空気漏れを示している。H=1200→1400, D=450→600の冷却は水管部によるものである。空燃比の変化によって, 燃焼核(火炎核)の位置が第10図ではH=700に降下し, 下方の核はH=400に上昇している。これは燃焼速度の増加を示すもので第11図では壁面に於ける以前に核を形成し, 衝突によって後に発生した核を含めて3つに分断している。火炎核の最高温度 $t_h$ は第10図で $t_h=1055^{\circ}\text{C}$ , 第11図で $t_h=910^{\circ}\text{C}$ となっている。築炉内の最高温度もしくは平均温度は熱面への熱輻射に関連したものであり, 次に検討を加えてみる。火炎の様子第13図は挿入口から撮ったもので, 火炎の長さが空燃比 $\frac{1}{m}$ が1に近づくに従がって伸びている。



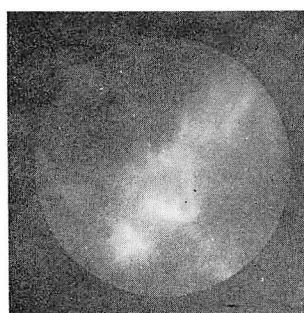
第8図 ボイラ内部温度分布  $5.6G \frac{1}{m}=0.760$



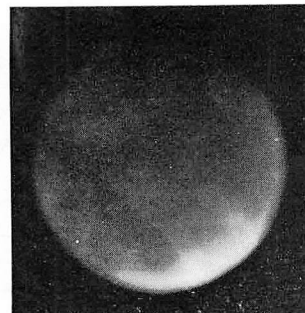
第10図 ボイラ内部温度分布  $5.6G \frac{1}{m}=0.705$

第11図 ボイラ内部温度分布  $5.6 \text{ G} \frac{1}{\text{m}} = 0.605$ 

第12図 ボイラ内部風速



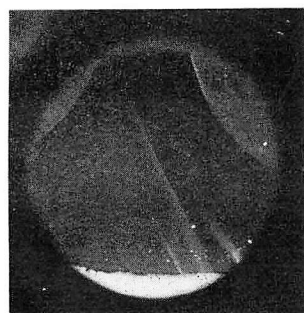
第13図 (a)



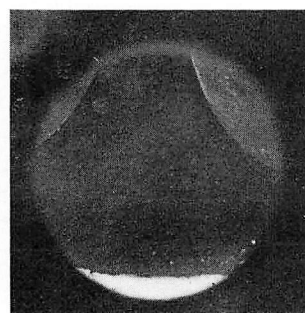
第13図 (b)



第13図 (c)

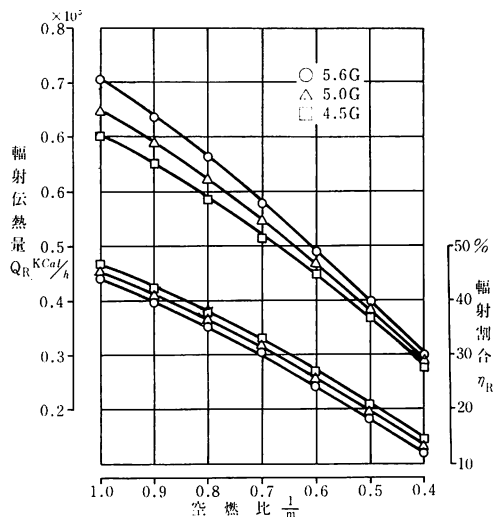


第13図 (d)



第13図 (e)





第15図 空燃比と輻射伝熱

に輻射の効率に又ぼす影響を示してあるが、この範囲でノズルチップの減少にともなって逆に輻射の割合が増大している。対流による熱伝達を含めた総合の熱伝達を考慮した後に再度考慮する必要があるが、第5図にみられたノズルチップの減少にともなう効率の増加の一要因とも考えられる。しかしながら理論燃焼温度より実際の燃焼室温度が下がっている事は前に考慮した燃焼終了時間 0.15~0.25 sec で既に仮想伝熱面をこえる炎長さを示し、第8、10、11図に認められる  $H=800\sim900$  に致る温度の急激な降下、既ち燃焼の過程に於ける中断、又は火炎の様子として第13図に見られた、吹き出し速度の低下にともなう乱れの減少で引き起こされた未燃物の増加がある。この事は煙突より放出される排煙濃度の観察からも明らかである。

## 5 あとがき

この実験を通じて、炉内温度分布、間欠燃焼のボイラ性能に及ぼす影響を、空燃比の効率に及ぼす影響を

明らかにした。又熱的検討を加える事により一般的な傾向の一一致を輻射の面から示してみた。しかしながら新たな問題として、バーナーからの吹き出しと共に乱流の燃焼に及ぼす影響、この事は未燃炭化物の生成及連続燃焼に於ける逆転に関連し、一次空気と二次空気の割合の変化に於ける問題を残している。今回の研究では伝熱面の対流による熱伝達を考慮していないが合わせてその傾向を明らかにしたい。又更に温度分布測定の実験範囲を広げてこの点からも検討を加えたい。終りに本研究を進めるに当って実験に多大な協力を願った、47年度卒業研究生、三塚潔君、森悟君に感謝の意を表する。

## 参考文献

伝熱工学資料 日本機械学会 179~186

熱 技術論文集 養賢堂 210~236

## 注

- 1) : P. 21. 図 1 -① 立型水管ボイラ
- 2) : " -② ガンタイブオイルバーナー
- 3) : " -③ 送風用ショッコファン
- 4) : " -④ 三相スライダック
- 5) : " -⑤ 燃料流量計
- 6) : " -⑥ 電子風速計
- 7) : " -⑦ 給水流量計
- 8) : " -⑧ 蒸気流量ノズル
- 9) : " -⑨ 水銀マノメーター
- 10) : " -⑩ 主管蒸気圧力計
- 11) : " -⑪ 主管蒸気温度計
- 12) : " -⑫ 熱量計
- 13) : " -⑬ サクションパイロメーター
- 14) : " -⑭ 煙道ガス採取
- 15) : " -⑮ 煙道ガス温度計
- 16) : " -⑯ 電位差平衡自動記録計
- 17) : " -⑰ ホンブ
- 18) : " -⑱ モーター
- 19) : " -⑲ バルブ

(昭和48年1月8日受理)